

宮崎大学工学部 正会員 太田 俊昭

学生員 ○大津留 哲矢

1 まえがき 本研究は、歪硬化の影響の著しいSS41などの軟鋼材(一様な正方形および矩形を有する断面)を対象にして、その弾塑性捩り挙動を歪増分理論に基づいて解明したもので、一応の成果をえたのでここにまとめて報告する。その際、解析に必要な硬化率 H' については、実際にSMT型捩り試験機を用いて軟鋼(丸鋼)の捩り実験を行ない、合せん断応力-合せん断歪図を作製し、これより硬化率 H' を求めた。また、与荷重捩りモーメントに対する合せん断応力分布は弾性、塑性域を通じ一貫して媒介関数、即ち捩りの応力関数 ϕ を導入のうえ、差分法による数値解析により決定した。

2 基礎理論および弾塑性捩り解析 一様な任意断面棒が純捩り T を受けた場合、一般に応力と歪増分の関係は、ロイスの方程式で次のように与えられる。(図-1参照)

$$\lambda = \frac{\dot{\gamma}_{yz}/2}{\tau_{yz}} = \frac{\dot{\gamma}'_{yz}/2}{\tau_{yz}} = \frac{\dot{\gamma}^p/2}{\tau} \quad \text{----- (1)}$$

ここに、 $\dot{\gamma}'_{yz}$, $\dot{\gamma}^p_{yz}$; 塑性合せん断歪成分の増分(工学定義)、
 τ_{yz} , τ ; 合せん断応力成分、 λ ; 正の比例定数。

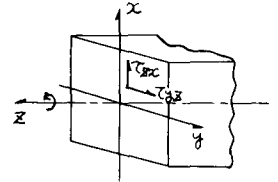


図-1

歪硬化を考慮した場合、硬化率 H' は次の式で示される。

$$H' = \frac{\dot{\tau}}{\dot{\gamma}^p} = \frac{\sqrt{3} \dot{\tau}}{\dot{\gamma}^p / \sqrt{3}} = \frac{3 \dot{\tau}}{\dot{\gamma}^p} \quad \text{----- (2)}$$

ここに、 $\dot{\tau}$; 相当合せん断応力増分、 $\dot{\gamma}^p$; 相当塑性歪増分、 $\dot{\tau} = \sqrt{3} \dot{\tau}'$ 、 $\dot{\gamma}^p = \dot{\gamma}^p / \sqrt{3}$ 。

そこで、(1)式は(2)式をつかって書き表わすと、

$$\lambda = \frac{1}{2} \frac{\dot{\gamma}^p}{\dot{\tau}} \frac{\dot{\tau}}{\tau} = \frac{3}{2} \frac{1}{H'} \frac{\dot{\tau}}{\tau} \quad \text{----- (3)}$$

次に、合せん断応力に対応する合せん断歪増分 $\dot{\gamma}$ を、ゆがみ関数 ψ を用いて表わせば、

$$\left. \begin{aligned} \dot{\gamma}'_{yz} &= \frac{\partial \dot{\psi}}{\partial y} + \dot{\omega} x \\ \dot{\gamma}'_{zx} &= \frac{\partial \dot{\psi}}{\partial x} - \dot{\omega} y \end{aligned} \right\} \quad \text{----- (4)}$$

ここに、 $\dot{\omega}$; 捩り率増分。

また、(1)式より、 $\dot{\gamma} = \dot{\gamma}^e + \dot{\gamma}^p$ をつかって、

$$\left. \begin{aligned} \dot{\gamma}'_{yz} - \frac{\dot{\tau}'_{yz}}{G} &= 2 \lambda \tau'_{yz} \\ \dot{\gamma}'_{zx} - \frac{\dot{\tau}'_{zx}}{G} &= 2 \lambda \tau'_{zx} \end{aligned} \right\} \quad \text{----- (5)}$$

ここに、 $\dot{\gamma}$; 全歪増分、 $\dot{\gamma}^e$; 弾性歪増分、 G ; 合せん断弾性係数。

(4)式、(5)式より $\dot{\gamma}'_{yz}$, $\dot{\gamma}'_{zx}$ を消去すると次式がえられる。

$$\left. \begin{aligned} \frac{\partial \dot{\psi}}{\partial y} + \dot{\omega} x &= 2 \lambda \tau'_{yz} + \frac{\dot{\tau}'_{yz}}{G} \\ \frac{\partial \dot{\psi}}{\partial x} - \dot{\omega} y &= 2 \lambda \tau'_{zx} + \frac{\dot{\tau}'_{zx}}{G} \end{aligned} \right\} \quad \text{----- (6)}$$

(6)式の両辺を各々 x , y で偏微分して $\dot{\psi}$ を消去し、応力関数 ϕ を導入すれば、

$$\frac{\partial^2 \phi}{\partial x^2} + \frac{\partial^2 \phi}{\partial y^2} + 2G \left\{ \frac{\partial}{\partial x} \left(\lambda \frac{\partial \phi}{\partial x} \right) + \frac{\partial}{\partial y} \left(\lambda \frac{\partial \phi}{\partial y} \right) \right\} = -2 \dot{\omega} G \quad \text{----- (7)}$$

ここに、 $\tau'_{yz} = -\frac{\partial \phi}{\partial x}$ 、 $\tau'_{zx} = \frac{\partial \phi}{\partial y}$ 。

なお、弾性域および除荷時においては $\lambda = 0$ であるので、(7)式より周知の ϕ に関する基礎方程式がえられる。

$$\frac{\partial^2 \phi}{\partial x^2} + \frac{\partial^2 \phi}{\partial y^2} = -2 \dot{\omega} \varphi \quad \text{--- (8)}$$

ここで、対象とする棒の断面を等間隔で分割し、格子点番号を図-2のように定める。(7)式と(8)式を差分表示すれば、次のような弾性および塑性両域に適用できる式がえられる。

$$\begin{aligned} & \{1 + G\alpha_{i,j}(4\lambda'_{i,j} + \lambda'_{i,j+1} + \lambda'_{i,j-1} + \lambda'_{i+1,j} + \lambda'_{i-1,j})\} \phi'_{i,j} - \{1 + G\alpha_{i,j}(\lambda'_{i,j} + \lambda'_{i,j-1})\} \phi'_{i,j-1} \\ & - \{1 + G\alpha_{i,j}(\lambda'_{i,j} + \lambda'_{i,j+1})\} \phi'_{i,j+1} - \{1 + G\alpha_{i,j}(\lambda'_{i,j} + \lambda'_{i-1,j})\} \phi'_{i-1,j} - \{1 + G\alpha_{i,j}(\lambda'_{i,j} + \lambda'_{i+1,j})\} \phi'_{i+1,j} \\ & = 2\alpha^2 \dot{\omega} \varphi - G\alpha_{i,j} \{ \phi'_{i,j} (4\lambda'_{i,j} + \lambda'_{i,j+1} + \lambda'_{i,j-1} + \lambda'_{i+1,j} + \lambda'_{i-1,j}) - \phi'_{i,j-1} (\lambda'_{i,j} + \lambda'_{i,j-1}) \\ & - \phi'_{i,j+1} (\lambda'_{i,j} + \lambda'_{i,j+1}) - \phi'_{i-1,j} (\lambda'_{i,j} + \lambda'_{i-1,j}) - \phi'_{i+1,j} (\lambda'_{i,j} + \lambda'_{i+1,j}) \} \quad \text{--- (9)} \end{aligned}$$

ここに、 $\phi - \phi' = \dot{\phi}$ 、 ϕ' ; 前の荷重段階の応力関数、
 $\alpha_{i,j}$; 弾性域で0、塑性域で1となるパラメーター。

(9)式を行列表示すれば、

$$[A][\dot{\phi}] = 2\alpha^2 \dot{\omega} \varphi [B] + [C]$$

$$\text{ゆえに、} [\dot{\phi}] = 2\alpha^2 \dot{\omega} \varphi [A]^{-1} [B] + [A]^{-1} [C] \quad \text{--- (10)}$$

捩りモーメント増分 \dot{T} は膜理論より、

$$\dot{T} = 2 \iint \dot{\phi} \, dx \, dy = 2\alpha^2 \sum_r \sum_c (\dot{\phi}_{i,j} + \dot{\phi}_{i+1,j} + \dot{\phi}_{i,j+1} + \dot{\phi}_{i+1,j+1}) \quad \text{--- (11)}$$

(11)式を行列表示すれば、

$$\dot{T} = [D][\dot{\phi}] \quad \text{--- (12)}$$

(10)式と(12)式より $[\dot{\phi}]$ を消去すれば、

$$\dot{\omega} = \frac{\dot{T} - [D][A]^{-1}[C]}{2\alpha^2 \varphi [D][A]^{-1}[B]} \quad \text{--- (13)}$$

ここに、 $[A]$; 正交行列、 $[B]$; $B_{ii} = 1$ である列行列、 $[C]$ および $[\dot{\phi}]$; としに列行列。
 $[D]$; 断面の分割数による定数の行行列。

以上より、 \dot{T} を与え、その荷重段階における $\dot{\phi}$ 、 \dot{T} 、 $\dot{\lambda}$ 、 $\dot{\omega}$ などを逐次求めていけば、必要な $T-\gamma$ 曲線がえられる。

ここで、数値解析に必要な $\dot{\lambda}$ 、 H' 、 γ^p の算定式の内容を示せば以下のとおりである。

まず、ミーゼスの降伏条件は、 $\bar{\tau}^2 = 3(\tau_{yz}^2 + \tau_{zx}^2)$ ここに、 $\bar{\tau}$; 相当せん断応力。

両辺を時間 t で微分して変形すれば、 $\dot{\bar{\tau}} = \frac{3(\tau_{yz} \dot{\tau}_{yz} + \tau_{zx} \dot{\tau}_{zx})}{\bar{\tau}}$

これを、 $\dot{\bar{\tau}} = \sqrt{3} \dot{\tau}$ 、 $\bar{\tau} = \sqrt{3} \tau$ の関係を用いて書きなおせば、

$$\dot{\tau} = \frac{\tau_{yz} \dot{\tau}_{yz} + \tau_{zx} \dot{\tau}_{zx}}{\tau} \quad \text{--- (14)}$$

(14)式を(3)式に代入して $\dot{\lambda}$ を求めれば、

$$\dot{\lambda} = \frac{3}{2} \frac{1}{H'} \frac{\tau_{yz} \dot{\tau}_{yz} + \tau_{zx} \dot{\tau}_{zx}}{\tau^2} \quad \text{--- (15)}$$

(15)式に(2)式を代入のうえ変形すれば、結局 $\dot{\lambda}$ として次式をえる。

$$\dot{\lambda} = \frac{1}{2} \frac{(\gamma^p - \gamma^p')}{(\tau - \tau')} \frac{\tau_{yz}(\tau_{yz} - \tau'_{yz}) + \tau_{zx}(\tau_{zx} - \tau'_{zx})}{\tau^2} \quad \text{--- (16)}$$

ここに、 $\dot{\gamma}^p = \gamma^p - \gamma^p'$ 、 $\dot{\tau} = \tau - \tau'$ 、

γ^p' ; 前の荷重段階の塑性歪、 τ' ; 前の荷重段階のせん断応力。

次に、丸鋼の実験結果よりえられた $T-\gamma$ 図をもとに、理想化したものが図-3である。この図より、次の関係式がえられる。

$$\gamma = \frac{T}{\mu_n \varphi} + (\gamma_n - \frac{\tau_n}{\mu_n \varphi}) \quad \gamma^e = \frac{T}{\varphi}$$

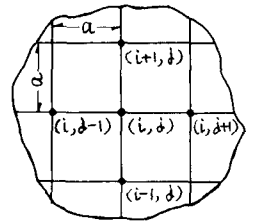


図-2

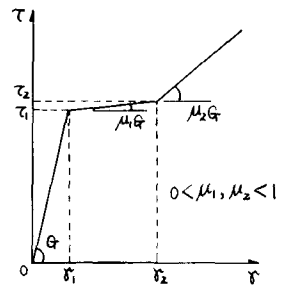


図-3

ここに、 $\tau_1 \leq \tau < \tau_2$ のとき $n=1$ 、 $\tau_2 \leq \tau$ のとき $n=2$ となる。

ゆえに、 $\gamma^P = \gamma - \gamma^0$ より γ^P の算定式は次のとおりである。

$$\gamma^P = \left(\frac{1}{\mu_n G} - \frac{1}{G} \right) T + \left(\gamma_n - \frac{\tau_n}{\mu_n G} \right) \quad (17)$$

(17)式を(2)式に代入すれば、 H' の算定式が与えられる。

$$H' = \frac{3\mu_n G}{1 - \mu_n} \quad (18)$$

3 応用例 正方形断面棒について解析すれば、次のようになる。

まず、対称性を考慮して図-4のように各格子点に番号をつける。ここでは一応、断面を縦、横ともに格子点間隔 a で6等分した。

(13)式において、 $[A]$ 、 $[B]$ 、 $[C]$ 、 $[D]$ の各行列の要素は次のとおりである。

$$[A] = \begin{bmatrix} a_{11} & a_{12} & 0 & 0 & 0 & 0 \\ a_{21} & a_{22} & a_{23} & a_{24} & 0 & 0 \\ 0 & a_{32} & a_{33} & 0 & a_{35} & 0 \\ 0 & a_{42} & 0 & a_{44} & a_{45} & 0 \\ 0 & 0 & a_{53} & a_{54} & a_{55} & a_{56} \\ 0 & 0 & 0 & 0 & a_{65} & a_{66} \end{bmatrix} \quad [B] = \begin{bmatrix} / \\ / \\ / \\ / \\ / \\ / \end{bmatrix} \quad [C] = \begin{bmatrix} C_1 \\ C_2 \\ C_3 \\ C_4 \\ C_5 \\ C_6 \end{bmatrix}$$

$$[D] = 2a^2 \begin{bmatrix} 4 & 8 & 4 & 4 & 4 & 1 \end{bmatrix}$$

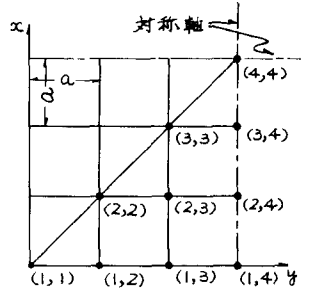


図-4

ただし、

$$\begin{aligned} a_{11} &= 4 + Gd(2,2) \{ 4\lambda(2,2) + 2\lambda(1,2) + 2\lambda(2,3) \} \\ a_{12} &= -2 \{ 1 + Gd(2,2) \{ \lambda(2,2) + \lambda(1,2) \} \} \\ a_{21} &= - \{ 1 + Gd(2,3) \{ \lambda(2,3) + \lambda(2,2) \} \} \\ a_{22} &= 4 + Gd(2,3) \{ 4\lambda(2,3) + \lambda(2,2) + \lambda(2,4) + \lambda(1,3) + \lambda(3,3) \} \\ a_{23} &= - \{ 1 + Gd(2,3) \{ \lambda(2,3) + \lambda(2,4) \} \} \\ a_{24} &= - \{ 1 + Gd(2,3) \{ \lambda(2,3) + \lambda(3,3) \} \} \\ a_{32} &= -2 \{ 1 + Gd(2,4) \{ \lambda(2,4) + \lambda(2,3) \} \} \\ a_{33} &= 4 + Gd(2,4) \{ 4\lambda(2,4) + 2\lambda(2,3) + \lambda(1,4) + \lambda(3,4) \} \\ a_{35} &= - \{ 1 + Gd(2,4) \{ \lambda(2,4) + \lambda(3,4) \} \} \\ a_{42} &= -2 \{ 1 + Gd(3,3) \{ \lambda(3,3) + \lambda(2,3) \} \} \\ a_{44} &= 4 + Gd(3,3) \{ 4\lambda(3,3) + 2\lambda(2,3) + 2\lambda(3,4) \} \\ a_{45} &= -2 \{ 1 + Gd(3,3) \{ \lambda(3,3) + \lambda(3,4) \} \} \\ a_{53} &= - \{ 1 + Gd(3,4) \{ \lambda(3,4) + \lambda(2,4) \} \} \\ a_{54} &= -2 \{ 1 + Gd(3,4) \{ \lambda(3,4) + \lambda(3,3) \} \} \\ a_{55} &= 4 + Gd(3,4) \{ 4\lambda(3,4) + 2\lambda(3,3) + \lambda(2,4) + \lambda(4,4) \} \\ a_{56} &= - \{ 1 + Gd(3,4) \{ \lambda(3,4) + \lambda(4,4) \} \} \\ a_{65} &= -4 \{ 1 + Gd(4,4) \{ \lambda(4,4) + \lambda(3,4) \} \} \\ a_{66} &= 4 \{ 1 + Gd(4,4) \{ \lambda(4,4) + \lambda(3,4) \} \} \end{aligned}$$

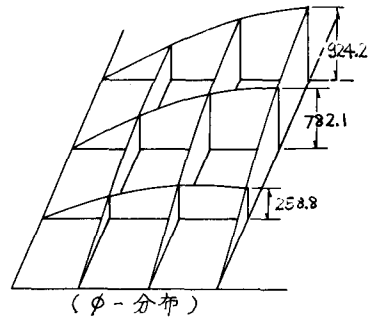
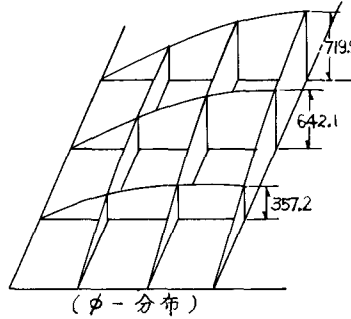
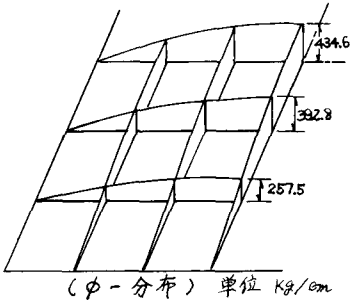
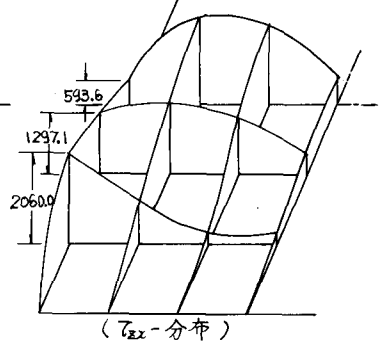
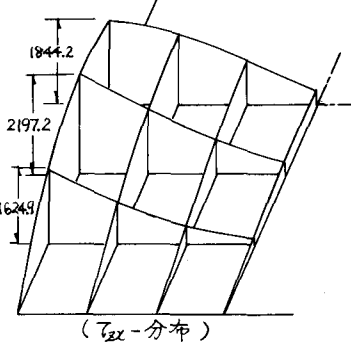
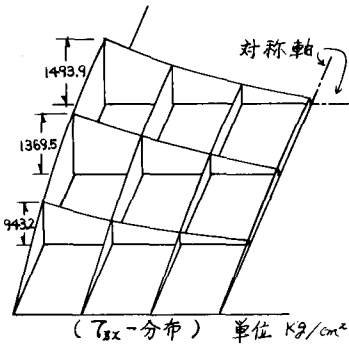
$$\begin{aligned} C_1 &= -Gd(2,2) \{ \phi(2,2) \{ 4\lambda(2,2) + 2\lambda(1,2) + 2\lambda(2,3) \} - 2\phi(2,3) \{ \lambda(2,3) + \lambda(2,2) \} \} \\ C_2 &= -Gd(2,3) \{ \phi(2,3) \{ 4\lambda(2,3) + \lambda(2,2) + \lambda(2,4) + \lambda(1,3) + \lambda(3,3) \} - \phi(2,2) \{ \lambda(2,3) + \lambda(2,2) \} \} \\ C_3 &= -Gd(2,4) \{ \phi(2,4) \{ 4\lambda(2,4) + 2\lambda(2,3) + \lambda(1,4) + \lambda(3,4) \} - 2\phi(2,3) \{ \lambda(2,4) + \lambda(2,3) \} - \phi(3,4) \{ \lambda(3,4) + \lambda(2,4) \} \} \\ C_4 &= -Gd(3,3) \{ \phi(3,3) \{ 4\lambda(3,3) + 2\lambda(2,3) + 2\lambda(3,4) \} - 2\phi(2,3) \{ \lambda(2,3) + \lambda(3,3) \} - 2\phi(3,4) \{ \lambda(3,3) + \lambda(3,4) \} \} \\ C_5 &= -Gd(3,4) \{ \phi(3,4) \{ 4\lambda(3,4) + 2\lambda(3,3) + \lambda(2,4) + \lambda(4,4) \} - \phi(2,4) \{ \lambda(3,4) + \lambda(2,4) \} - 2\phi(3,3) \{ \lambda(3,4) + \lambda(3,3) \} - \phi(4,4) \{ \lambda(3,4) + \lambda(4,4) \} \} \\ C_6 &= -Gd(4,4) \{ \phi(4,4) \{ 4\lambda(4,4) + 4\lambda(3,4) \} - 4\phi(3,4) \{ \lambda(4,4) + \lambda(3,4) \} \} \end{aligned}$$

これらを用いた数値計算の結果より、 T に対応する τ_{2x} -分布と ϕ -分布を次の図に示した。

$T = 63.5 \text{ kg-cm}$ (弾性限界)

$T = 1020 \text{ kg-cm}$

$T = 1048 \text{ kg-cm}$



4 考察 数値解析により次のことが判明した。1) 捩りモーメントの増加に伴って断面の辺の中央部がまず降伏し、さらに両縁へ塑性域が広がる。

2) 断面の内部へ塑性域が広がってゆく過程において、以前に一度降伏に達して塑性変形が進行している箇所でも、部分的に応力の除荷状態がおりうること。

3) 本法の数値解析よりえられた $T-w$ 曲線は、歪硬化を無視した解析結果に比べて、より実際の鋼材の捩り挙動に近い曲線となりうる。

(比較のため、著者らの行った正方形断面棒の実験値と本法の解析結果、および歪硬化を無視した解析結果を右図に併記した。) なお、矩形断面棒については講演時に発表の予定である。

5 参考文献

1) 山田嘉昭「塑性力学」日刊工業

新聞社、2) 太田俊昭「棒の弾塑性捩りに関する基礎的研究」宮崎大学工学部研究報告第17号

